

مقارنة الاداء البالستي لقذيفة مخروطية الرأس واخرى مدبية الرأس بالاعتماد على فرضية توسيع الفجوة الاسطوانى

الباحثون: م. حيدر جبار عبد^١ م. عدنان عبد الحسين عكلة^١ م.م صلاح مهدي سوادي^٢ حسين لطيف جابر^٣

^١- جامعة ذي قار- كلية الهندسة.

^٢- الجامعة المستنصرية - كلية الهندسة.

المستخلص

تناول البحث مقارنة الاداء البالستي لنوعين من القذائف مخروطية الرأس ومدببة الرأس وتأثير شكل رأس القذيفة على الاداء البالستي حيث استخدمت مواد معدنية مطبلية لصناعة الاهداف (الالمنيوم)، قربت استجابة مادة الهدف باستخدام فرضية توسيع الفجوة الاسطوانية واعتمدت هذه الفرضية لانها تلائم كلا النوعين من القذائف ، وقسمت المنطقة المحيطة بالفجوة الى منطقتين لدنة-مرنة عند تلامس القذيفة مع مادة الهدف وباستخدام معادلات حفظ الزخم والمادة وجدت استجابة مادة الهدف (سرعة جزيئات المادة اثناء تكون الفجوة و الاجهادات) عند الصدمة ومنها تم ايجاد الاجهادات المتولدة عند راس القذيفة استخدمت هذه الاجهادات لحساب التناقص الحاصل بسرعة القذيفة وبالتالي تم تغير سرعة القذيفة النهائية في حالة حصول اختراق كامل او العمق النهائي للقذيفة في حالة حصول احتواء للقذيفة في معدن الهدف.

اكدت نتائج البحث ان الية توسيع الفجوة الاسطوانية ملائمة لكلا النوعين من القذائف وكذلك للمعادن المطلبالية كما توصلنا ان القذائف المدببة الرأس اكفي من القذائف المخروطية الرأس وذلك لان الشكل المدبب لرأس القذيفة يقوم بأزاحة جزيئات معدن الهدف بلا تجاه الشعاعي بتعجيل اقل من الرأس المخروطي وهذا يؤدي الى تقليل الاجهادات المتولدة عند رأس القذيفة وبالتالي يقلل من الطاقة الممتضصة من القذيفة.

Key words:

Penetration, Ballistic Performance, Cavitations Theorem, Projectiles, Cylindrical Cavity Expansion

Comparison the Ballistic Performance of Ogival Nons and Conical Nose Projectile Depending on Cylindrical Cavity Expansion Theorem.

Abstract:

The paper aims to investigate and compare the ballistic performance of the ogival nose and the conical nose projectiles, and the affect the construction of the projectile's nose on the plastic penetration in Aluminum target. By using Cylindrical Cavity Expansion theorem which is suitable for ogival and conical nose. And by using conservation region to elastic and plastic region, during the touch of the projectile with the target and by using conservation equation, the target substance response was calculated (the particle velocities during cavity formation and

associated stresses) during the impact. Then the produced stresses at the projectile's nose were found. These stresses were used for calculating the decreasing in projectile velocity. Then the final projectile velocity was approximated in either the full penetration or final depth of the projectile in the target mechanism was suitable for both types of projectiles and also for ductile metals. Form of the nose projectile causes displacement the metal particles in radial direction more efficient than conical one, since the ogival form of the nose projectile causes displacement the metal particle in radial direction more than conical nose, and this leads to reduce the produced stresses in the projectile's nose. Then this leads to reduce the absorption energy by the projectile.

الرموز المستخدمة

a	نصف قطر القذيفة
C	سرعة توسيع المنطقة المرنة
C_d	سرعة توسيع المنطقة اللينة
CRH	عيار نصف قطر رأس القذيفة
F_n	القوة العمودية على رأس القذيفة
F_t	القوة المماسية لرأس القذيفة
F_z	القوة المعايقية لتقدم القذيفة
t	سمك الهدف
K	معامل الجسم
P	الضغط الهايدروليكي
R^*	نصف قطر القوس المولد للرأس المدبب
S	الاجهاد النسبي
T	اجهاد الخضوع النسبي للمعدن
U	السرعة النسبية لجزيئات المعدن
V	سرعة توسيع الفجوة
V_0, V_{in}	سرعة الصدمة
V_z	سرعة القذيفة داخل الهدف
Y	اجهاد الخضوع
ϵ	سرعة توسيع الفجوة النسبي

٢	نصف قطر المنطقة اللدنة النسبي
١	الانفعال الحجمي
σ_r	الاجهاد الشعاعي
σ_0	الاجهاد الحلقى
v	سرعة جزيئات المعدن في المنطقة اللدنة

١ - المقدمة

استقطب موضوع التغلغل والاختراق اهتماماً كبيراً ولسنوات عديدة وخصوصاً أثناء الحرب العالمية الثانية، وبعدها ازدادت الدراسات المقدمة في هذا المجال ولكل التطبيقات المدنية والعسكرية وفي المجال العسكري يمثل هذا الموضوع أهمية بالغة في تصميم القذائف التي تخترق الأهداف المختلفة والوصول إلى أحسن نموذج هندسي من خلال معرفة العوامل المؤثرة على النموذج ، أو العكس لتصميم دروع تقاوم القذائف المختلفة وما تميز به هذه الدروع من خفة الوزن والكفاءة العالية لمقاومة التغلغل والاختراق لحماية الدبابات ، الطائرات ، المشاة وحتى رجال الشرطة والشخصيات السياسية والاقتصادية الهامة.

يمكن أن يعرف التغلغل (Penetration) بالمفهوم العلمي بأنه التداخل بين المقدوفة والهدف بدون حصول عملية اختراق كامل له وتحصل هذه الحالة عند السرعة البالستية ويكون الثقب الناتج نافذ كلياً ولكن المقدوفة تبقى داخل الهدف، أما في حالة خروج المقدوفة من الهدف فإن العملية تصبح اختراقاً للهدف [1].

وفي المجال المدني وبنقدم التكنولوجيا الحديثة، أكتسب هذا الموضوع اهتماماً متزايداً في الآونة الأخيرة حيث أصبح عامل مهم لتصميم المحركات التوربينية لكي تحتوي الشطاطيا الناجمة عن تكسر أنصاف التوربين والتي تعامل على أنها مقدوفات حيث تتراوح سرعتها بين (100-1000 m/s) وكذلك لتوفير الحماية للمركبات الفضائية من صدمات النيازك والتي تصل سرعتها إلى أكثر من (5000 m/s) [2] .

٢ - صياغة نموذج التغلغل

عند اصطدام قذيفة جاسئة (جاسئة لا يحدث فيها تشوه) نقطية الرأس نصف قطرها (a) بهدف معدني متجلانس (ثابت الخواص بكل اتجاهات) بصورة عمودية عليه وبسرعة ابتدائية (V_0) يؤدي هذا الفعل إلى إزاحة معدن الهدف إلى الداخل

والجوانب عند حصول عملية التلامس بين رأس القذيفة والهدف وباستمرار تقدم القذيفة تحصل عملية التغلغل داخل مادة الهدف [٣] .
[٣] (V_z) بسرعة

بالنسبة للقذيفة الجاسنة فإن الحركة والعمق النهائي للتغلغل يمكن أن يحسب عندما تكون القوى المعرقلة للتقدم معلومة، ولهذا يجب أولاً إيجاد مقاومة الهدف للاختراق ومن ثم نحسب تغير سرعة القذيفة والعمق النهائي . استند البحث على فرضية توسيع الفجوة الأسطواني (Cylindrical Cavity Expansion) وفيها تقريب تكون الفجوة إلى توسيع اسطوانة من نصف قطر ابتدائي مساوي للصفر حيث يزاح المعدن إلى الجانب فقط مع تقدم القذيفة وهو مرتبط بشكل رأس القذيفة، أن هذه الفرضية ملائمة للرأس المخروطي لأن الفجوة تكون مستقيمة عند قمة الرأس ، وللرأس المدب وخاصةً عندما يكون CRH>>1 (CRH= R / 2a) لأنه يكون أقرب إلى الشكل المخروطي.

أن تحليل توسيع الفجوة يتم بربط الأجهادات المتولدة عند سطح الفجوة مع سرعة توسيع الفجوة وبطبيعة الأمر فإن الإجهاد عند تلامس سطح القذيفة مع سطح الفجوة يكون مقرون بسرعة توسيعها نتيجة تحرك القذيفة داخل معدن الهدف بسرعة (V_z) وما تقدم وكما موضح في الشكل(١) أن القذيفة تولد قناة داخل الهدف مساوية لقطر الإطلاق وإذا تم فرض أن الهدف مكون من طبقات متواصلة نحيفة بسمك (5-15μm) عمودية على اتجاه القذيفة، يمكن عندها تقسيم مقاومة الهدف للتغلغل إلى قوة عمودية على رأس القذيفة وأخرى مماسية ناتجة عن الاحتكاك مع الطبقات النحيفة ولسرعة وضغط اختراق عالي يمكن أن نفرض أن القوة المماسية تتناسب مع القوة العمودية (dF_n = μ dF_t) [٤] .

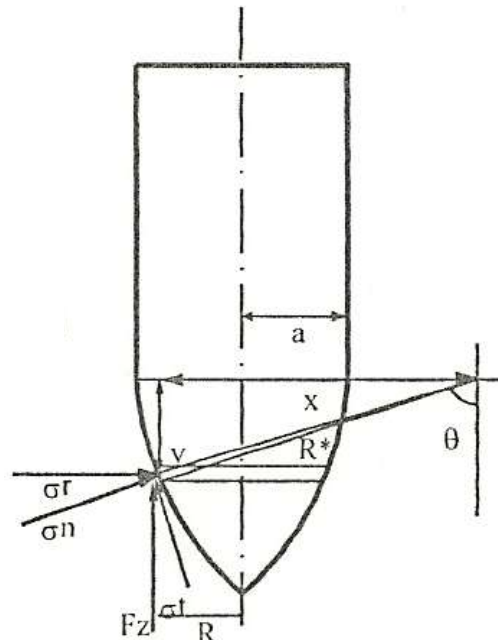
3-حساب القوة المعيقة للحركة

1-3- القذائف المدببة الرأس ، Ogival Nose Projectile

$$dF_n = 2\pi R^{*2} \left[\sin\theta - \frac{R^* - a}{R^*} \right] \sigma_n(V_z, \theta) \cos\theta d\theta$$

$$dF_t = 2\pi R^{*2} \left[\sin\theta - \frac{R^* - a}{R^*} \right] \sigma_n(V_z, \theta) \sin\theta \cos\theta d\theta$$

شكل رقم (١). قذيفة مدببة الرأس



٢-٣- القذائف المخروطية الرأس Conical Nose Projectile

$$dF_r = \sigma_r(v_r, z) dA$$

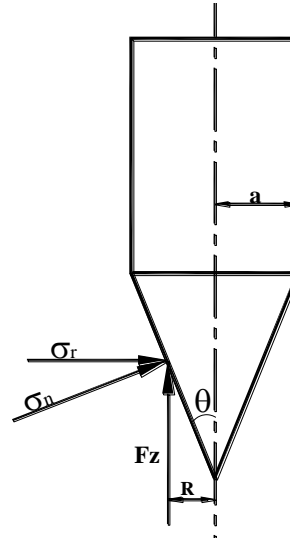
$$dA = 2\pi R dz$$

$$R = (z + dz) \tan \theta$$

$$dA = 2\pi z dz \tan \theta$$

$$dF_r = 2\pi \sigma_r(v_r, z) z dz \tan \theta$$

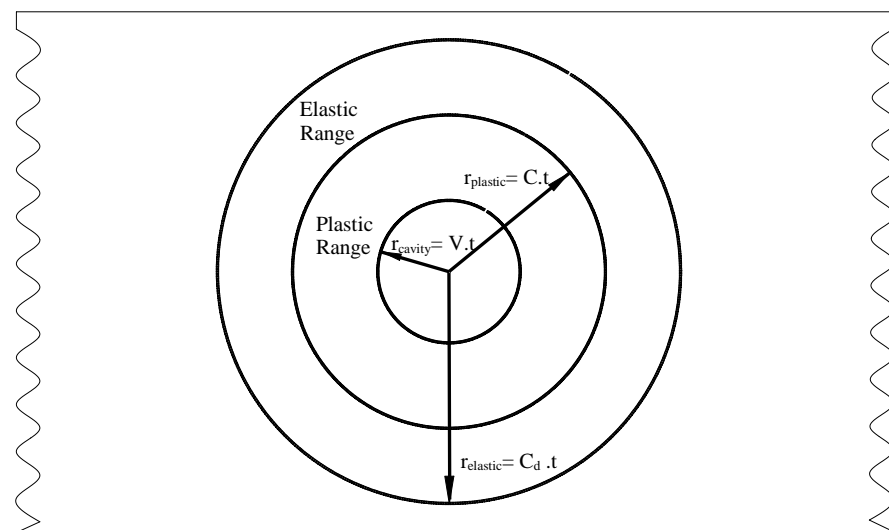
$$dF_t = 2\pi \mu \sigma_r(v_r, z) z dz \tan \theta$$



شكل رقم (٢). قذيفة مخروطية الرأس

٤- حساب الاجهادات عند السطح الداخلي للفجوة

تتوسع الفجوة داخل الهدف بشكل اسطواني من نصف قطر مساوي للصفر ثم تباء بالزيادة مع تغلغل راس القذيفة وبسرعة (V)



الشكل رقم (٣). كيفية تكون الفجوة داخل المعدن و تقسيم المنطقة المحيطة بالفجوة الى منطقة لينة و أخرى مرنة.

ونلاحظ من الشكل(٣) أنه يمكن تقسيم المنطقة المحيطة بالفجوة المتركونة إلى منطقة لدنة ومنطقة مرنة تكون المنطقة اللدنة محددة بـ $V.t < r < C.d.t$ ، أما بالنسبة للمنطقة المرنة تكون محددة $C.d.t < r < C.t$. المنطقة اللدنة توصف بعلاقة خطية بين الضغط-الانفعال الحجمي.

$$P = K \left(1 - \frac{\rho}{\rho_0} \right) \quad \dots (1.a)$$

$$(\sigma_r - \sigma_\theta) = Y \quad \text{Yield Criterion} \quad \dots (1.b)$$

$$P = \frac{\sigma_r + \sigma_\theta}{2} \quad \dots (1.c)$$

٤-١- استجابة المنطقة اللدنة

من معادلات حفظ الزخم والكتلة باحداثيات اوبلر [5] تصبح كالتالي:-

$$\frac{\partial \sigma_r}{\partial t} + g \frac{\partial \sigma_r}{\partial r} = -K(1-\eta) \left[\frac{\partial v}{\partial r} + \frac{v_r}{r} \right] \quad \dots (2.a)$$

$$\frac{\partial v_r}{\partial t} + v_r \frac{\partial v_r}{\partial r} = -\frac{1-\eta}{\rho_0} \left(\frac{\partial \sigma_r}{\partial r} + \frac{Y}{r} \right) \quad \dots (2.b)$$

For most material $(1-\eta)=1$

لغرض تبسيط المعادلتين (2.a,b) تم استخدام المتغيرات الابعدية Dimensionless Variable وكما يلي :-

$$S = \frac{\sigma_r}{K}$$

$$T = \frac{Y}{K}$$

$$U = \frac{v}{C}$$

$$\epsilon = \frac{V}{C}$$

$$\zeta = \frac{r}{C.t}$$

وبعد اجراء التعويضات و إكمال الاختصارات الممكنة تم الحصول على النتائج التالية :-

$$\frac{dS}{d\zeta} = \frac{(dU/d\zeta) - (U/\zeta)}{[\zeta - U]} \quad \dots(3.a)$$

$$\beta^2 \frac{dU}{d\zeta} (\zeta - U) = \frac{dS}{d\zeta} + \frac{T}{\zeta} \quad \dots(3.b)$$

حيث ان:-

$$\beta = \frac{C}{C_p}$$

$$C_p^2 = \frac{K}{\rho}$$

حل هذه المعادلات بغية الحصول على الإجهاد العمودي σ_n عند السطح الداخلي للفجوة سنجاً للطرق العددية وذلك بسبب تعقيد هذه المعادلات فإن حلها بالطرق الرياضية الاعتيادية معقد. من (3.b) نحصل على

$$\frac{dU}{d\zeta} = \frac{U + T(\zeta - U)}{\zeta [\beta^2(\zeta - U)^2 - 1]} \quad \dots(3.a^*)$$

من (3.a) و (3.a*) نحصل على

$$\frac{dS}{d\zeta} = \frac{T + U\beta^2(\zeta - U)}{\zeta [\beta^2(\zeta - U)^2 - 1]} \quad \dots(3.b^*)$$

من الشروط الحدية التالية :-

$$S_{(\zeta=1)} = S_1 \quad \dots(4.a)$$

$$U_{(\zeta=1)} = U_1 \quad \dots(4.b)$$

$$U_{(\zeta=\epsilon)} = \epsilon \quad \dots(4.c)$$

ولغرض أيجاد الإجهاد (S) يجب أولاً أيجاد سرعة الجزيئات (U) والذي يعتمد بدوره على سرعة الحد الفاصل بين المنطقتين المرنة-اللدنة (β) والذي يتغير مع تغير سرعة توسيع الفجوة الداخلية ϵ فلذلك يجب أيجاد العلاقة بين (β & ϵ) ثم نعرض هذه العلاقة في المعادلة (3.a*) وبعدها يتم إجراء التكامل في ضوء هذه العلاقة. وباستخدام الشرط الحدي (4.c) والذي ينص على $[U = \epsilon] = \epsilon$ [و باستخدام طريقة رانج كوتة من الدرجة الرابعة (Fourth Order Runge Kutta

مع ملاحظة أن التكرار في هذه الحالة يبداء من الحد الفاصل بين المنطقتين المرنة-اللدنة ($1 = \gamma$) باتجاه السطح الداخلي للفجوة أي عندما ($\epsilon = \gamma$) ولهذا يجب أن تكون (S_2, U_2) معلومة والتي يمكن إيجادها بالاستعانة بشرط هجنيود للفزرة (Bdalla of the variables Hugoniot Jump Con.)

$$U_2 = 1 - \left(\frac{\rho_1}{\rho_2} \right) (1 - U_1) \quad \dots(5.a)$$

$$S_2 = S_1 + \beta^2 \left(\frac{\rho_1}{\rho_0} \right) (1 - U_1) (U_2 - U_1) \quad \dots(5.b)$$

حيث ان الرمز السفلي (2) يشير إلى الكميات التي تقع في المنطقة اللدنة أما الرمز السفلي (1) يشير إلى الكميات التي تقع في المنطقة المرنة. إذا تم فرض أن ($\rho_1 \approx \rho_2$) فنحصل على ($U_1 = U_2, S_1 = S_2$) [6]، وبغية الحصول على (S_1, U_1) يجب دراسة استجابة المنطقة المرنة

٤-٢- استجابة المنطقة المرنة

أن معادلة حفظ الزخم الخاصة بالمنطقة المرنة للحالة الأسطوانية هي [3].

$$\frac{\partial \sigma r}{\partial r} + \frac{\sigma_r - \sigma_\theta}{r} = -\rho \frac{\partial^2 u}{\partial t^2} \quad \dots(6)$$

وباستخدام علاقات الإجهاد-الانفعال للحالة الأسطوانية [7] ، [8] يمكن تحويل معادلة (6) Bdalla of the reaction فقط

$$\frac{\partial^2 u}{\partial r^2} + \frac{1}{r} \cdot \frac{\partial u}{\partial r} - \frac{u}{r^2} = \frac{1}{C_d^2} \cdot \frac{\partial^2 u}{\partial t^2} \quad \dots(7)$$

باستخدام المتغيرات الابعدية التالية فان المعادلة (7) تتحول الى

$$\zeta = \frac{r}{C \cdot t} \quad ; \quad \varpi = \frac{u}{C \cdot t}$$

$$(1 - \alpha^2 \zeta^2) \frac{d^2 \omega}{d\zeta^2} + \frac{1}{\zeta} \cdot \frac{d\omega}{d\zeta} - \frac{2}{\zeta} \cdot \omega = 0 \quad \dots(8)$$

$$\text{Where: } \alpha = \frac{C}{C_d}$$

يمكن تحويل المعادلة التقاضية (٨) ذات الدرجة الثانية الى معادلة من الدرجة الاولى باستخدام العلاقات التالية:

$$Z = \alpha\zeta \quad ; \quad \varpi = PZ \quad ; \quad R = \frac{dP}{dZ}$$

$$\frac{dR}{R} + \frac{3-2Z^2}{(1-Z^2)Z}R = 0 \quad(9)$$

وباجراء التكامل على (٩) نحصل على

$$R = \frac{dP}{dZ} = A \frac{\sqrt{1-Z^2}}{Z^3} \quad ... (10)$$

من تكامل معادلة (١٠) نحصل على

$$P = A \left[\frac{1}{-8 \tan^2 H} + 2 \ln |\tan H| + \frac{1}{8} \tan^2 H + \ln \left(\frac{1+\sqrt{1-Z^2}}{Z} \right) \right] + B \quad(11)$$

Where: (A,B) Integration Constant

$$H = \frac{\sin^{-1} Z}{2}$$

لإيجاد ثوابت التكامل نستخدم الشروط الحدية التالية:-

$$\begin{aligned} 1 - at \ Z = 1 &\Rightarrow \varpi = 0 \\ 2 - \sigma_{r(Z=\alpha)} - \sigma_{\theta(Z=\alpha)} &= Y \end{aligned}$$

$$\mathbf{B} = \mathbf{0}$$

$$\mathbf{Y} = \frac{\mathbf{E}\alpha}{1+\gamma} \left[\frac{\partial \varpi}{\partial Z} - \frac{\varpi}{Z} \right] \quad ... (12)$$

$$\varpi = \mathbf{A}Z\mathbf{Q} \quad ... (13)$$

$$Q = \frac{1}{-8 \tan^2 H} = 2 \ln |\tan H| + \frac{1}{8} \tan^2 H + \ln \left(\frac{1+\sqrt{1-Z^2}}{Z} \right)$$

$$A = \frac{Y(1+\gamma)}{E\alpha^2 f} \quad \dots(14)$$

$$f = \frac{dQ_{(z=\alpha)}}{dz} = \frac{1}{2\sqrt{1-\alpha^2}} \left[\frac{\operatorname{Sec}^2 H^*}{4\tan^3 H^*} + \frac{1}{4} \tan H^* \operatorname{Sec}^2 H^* + \frac{2(\sqrt{1-\alpha^2} - \alpha^2)}{1+\sqrt{1-\alpha^2}} \right]$$

$$H = \frac{\operatorname{Sin}^{-1} Z}{2}, \quad H^* = H_{(z=\alpha)}$$

$$\varpi = \frac{u}{C.t} = ZAQ \quad \dots(15)$$

$$\frac{du}{C.dt} = U = A \left[ZQ + tQ \frac{dz}{dt} + tZ \frac{dQ}{dz} \cdot \frac{dz}{dt} \right] \quad \dots(16)$$

$$U_1 = \frac{Y(1+\gamma)}{E} \quad \dots(17)$$

$$S_1 = \frac{3\alpha A(1-\gamma)}{(1+\gamma)} \left(\frac{Q^*}{(1-\gamma)} + \alpha f \right) \quad \dots(18)$$

$$Q^* = Q_{(Z=\alpha)}$$

من المعادلة (17) يمكن أيجاد (U_1) وبذلك أصبح بالأمكان استخدام البرنامج الحاسبي لإيجاد العلاقة بين ($\beta & \epsilon$) وبعدها يتم الحصول على تغير (U) على امتداد المنطقة اللدنية وبها يوجد تغير (S) على امتداد المنطقة اللدنية مع تغير (ϵ) في نفس الوقت وباستخدام نفس البرنامج وبذلك يمكن تخمين القوة المعيقة لتقديم القذيفة.

٥ - حساب السرعة النهائية للقذيفة

١ - القذائف المدببة الرأس

$$F_z = 2\pi R^{*2} \int_{\phi_o}^{\phi} \sigma_{n(V_z, \theta)} \cos \phi [(\sin \phi - \frac{R^* - a}{R^*}) (\cos \phi + \mu \sin \phi)] d\theta \quad \dots(12)$$

$$F_z = 2\pi R^{*2} K \int_{\phi_o}^{\phi} S \cos \phi [(\sin \phi - \frac{R^* - a}{R^*}) (\cos \phi + \mu \sin \phi)] d\theta \quad \dots(13)$$

٢-٥ - القذائف المخروطية الرأس

$$F_z = 2\pi\sigma_{r(V_z, Z)} \int_0^L (\tan^2 \theta + \mu \tan \theta) Z dz \quad \dots(14)$$

$$F_z = \pi K S a^2 \left(1 + \frac{\mu}{\tan \theta}\right) \quad \dots(15)$$

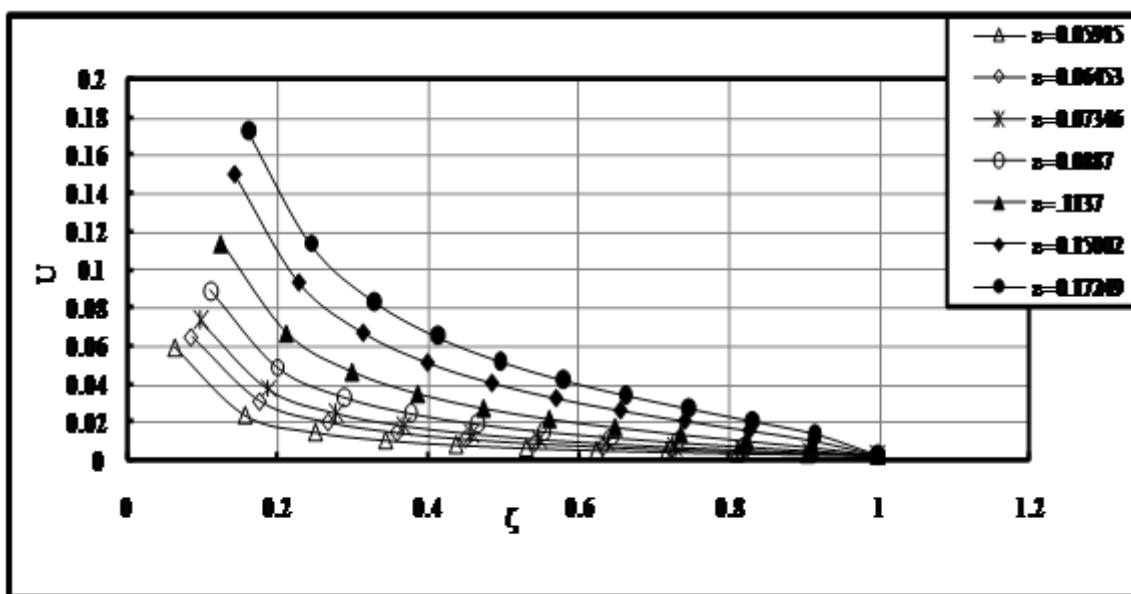
بعد معرفة القوة المعرفة لنقدم القذيفة يمكن ايجاد سرعة تخلف او عمق التغلغل للقذيفة باستخدام قانون نيوتن للحركة

$$m \frac{dV_z}{dt} = m V_z \frac{dV_z}{dz} = -F_z$$

٦- النتائج والمناقشة

١-٦ توزيع سرعة جزيئات المعدن على امتداد المنطقة اللينة

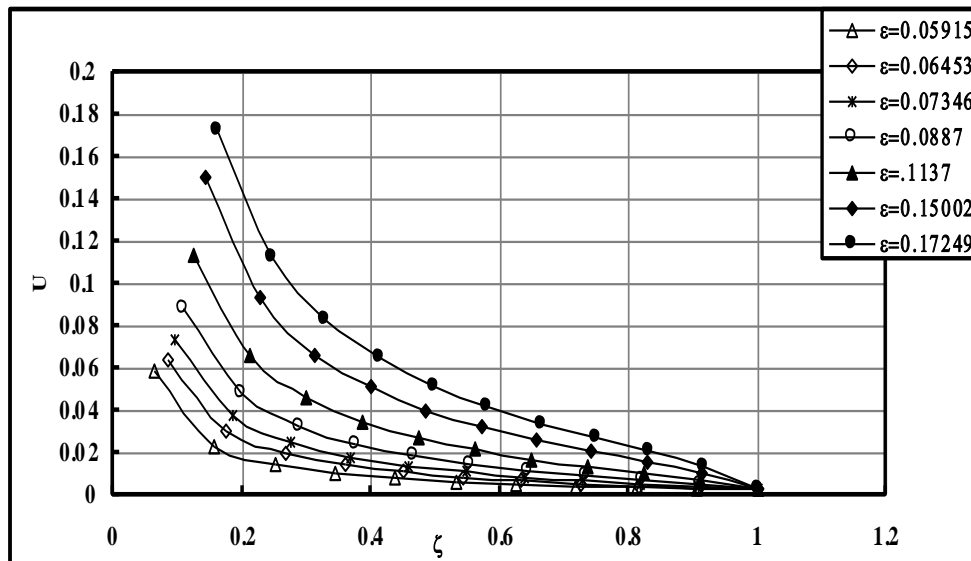
من البرنامج الحاسبي يمكن ايجاد توزيع سرعة الجزيئات (U) بدلالة المتغيرات الابعدية على امتداد المنطقة اللينة ($\gamma < \epsilon$) ويظهر الشكل (2) للمواد المصنوعة من الألمنيوم ولحالات مختلفة من سرع توسيع الفجوة (ϵ)



الشكل (٤) توزيع سرعة الجزيئات (U) على امتداد المنطقة اللينة ($\gamma < \epsilon$) لهدف الألمنيوم ولحالات مختلفة من (ϵ).

٢-٦ توزيع الإجهادات الشعاعية في المنطقة اللدنة

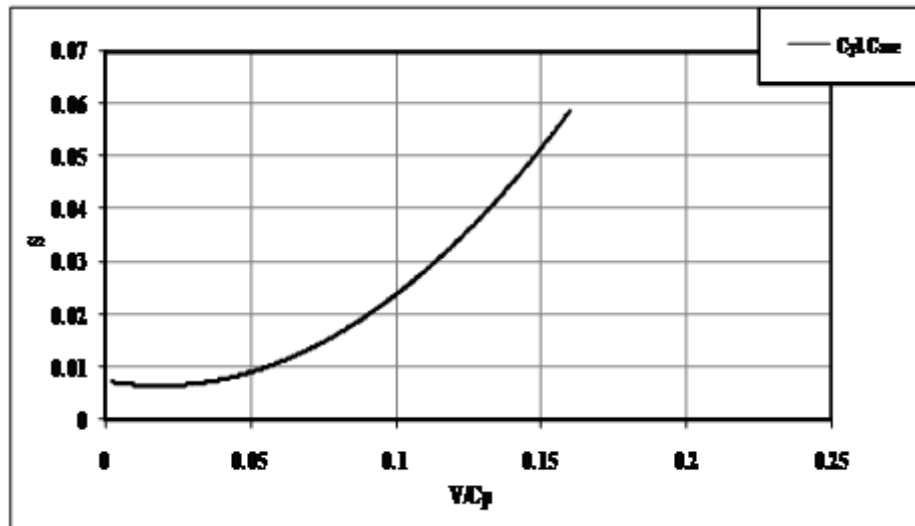
أن توزيع الإجهاد الشعاعي بدلالة المتغيرات الابعدية (S) مشابه لتوزيع سرعة الجزيئات (U) ويظهر الشكل (3) كيفية هذا التوزيع على امتداد المنطقة اللدنة لمعدن الألمنيوم



الشكل (٥) توزيع سرعة الجزيئات (U) على امتداد المنطقة اللدنة ($1 < \gamma < \varepsilon$) لهدف الألمنيوم وفرضية التوسيع الأسطواني ولحالات مختلفة من (ε).

٣-٦ الإجهاد الشعاعي عند سطح الفجوة

مع سرعة توسعها والشكل (٦) يبين هذه العلاقة لمعرفة القوة المعرقلة لتقديم القذيفة أثناء عملية التغلغل يجب أيجاد الإجهاد عند سطح الفجوة والذي يتغير مع تغير سرعة القذيفة داخل المعدن ومن الفقرة السابقة يمكن أيجاد العلاقة بين الإجهاد عند سطح الفجوة.



الشكل (٦) تغير الإجهاد الشعاعي (S) مع تغير سرعة توسيع الفجوة بدلالة المتغيرات اللابعدية (V / CP) (لهدف الألمنيوم .

يبين الشكل (٦) العلاقة بين الإجهاد بدلالة المتغيرات اللابعدية (S) وسرعة توسيع الفجوة اللابعدي (V / CP) (لهدف الألمنيوم حيث تزداد قيمة (S) مع زيادة (V / CP)). عند القيمة الواطئ لسرعة توسيع الفجوة (V/CP) يمكن مقارنة نتائج البحث الحالي مع نتائج الباحثون Hill [9] و Eric [10] الذي يفترض وجود ضغط ثابت لتكون الفجوة من نصف قطر ابتدائي متساوي للصفر باستخدام نفس الفرضية لتوسيع الفجوة، قدم الباحث القوانين التالية لحساب الإجهاد عند سطح الفجوة:-

$$S_s = \frac{Y}{2K} \left[1 + \ln \left(\frac{6(1-2\gamma)K}{(5-4\gamma)Y} \right) \right] \quad ... (6)$$

الرموز السفلية (S) تشير لحالة التوسيع الأسطواني للفجوة.

باستخدام مواصفات هدف الألمنيوم المبينة أدناه بتطبيق المعادلة (6) نحصل على ($SS=0.008931$) أما القيم المحصل عليها من البحث الحالي والتي تظهر في الشكل (6) فتعطي ($SS=0.0091$) وهذا يؤيد تقارب نتائج البحث الحالي مع نتائج الباحث Hill [9].

Target Type	Ni%	Cu%	Mg%	Fe%	Zn%	Si%	Mn%	Al%
3003Al. Alloy	-	.0039	.1399	.8628	-	.651	.9081	Rem

Material	E (GN/m ²)	Elastic limit σ_y (MN/m ²)	Density ρ (kg/m ³)	Tensile Strength(MN/m ²)
3003AL. ALLOY	69	140	2710	159

7 -نتائج الاختبارات البالستية

بسبب تعقيد العلاقات الرياضية التي تصف استجابة المواد أثناء تعرضها إلى صدمة وخصوصا في السرع العالية اضطر الباحثين إلى استخدام نماذج تقريرية لوصف استجابة المادة الحقيقية لهذا فلا بد من اجراء اختبارات حقيقة لتقدير اداء النموذج المقترن.

أن البرنامج العملي يتتركز على تحقيق هدفين الأول معرفة سرعة الفذيفية قبل وبعد الاختراق، والهدف الثاني فهو معرفة سرعة الصدمة والعمق النهائي للتغلغل. وقد استخدمنا في برنامج الفحوصات البالستية الألمنيوم 3003 في صناعة الاهداف التي سيتم اختبارها. أما معدن الفذيفية فقد اختير من الفولاذ السبائك ذو صلادة وقاومة شد عالية وذلك لتحقيق النموذج النظري الذي يستند على أن الفذيفية جاسة فلا يحدث لها تشوه أثناء عملية التغلغل، من هذا المعدن تم تشكيل القذائف التي اتخذت رؤوسها الأشكال (المخروطي والمدبب).

بسبب الصلادة العالية للقذائف فإن جهاز إطلاق القذائف يجب أن يمتلك مواصفات خاصة (لا يحتوي على حز وأخدود داخلي) لتجنب أي إعاقة لتقدم الفذيفية وللحصول على سرعة عالية تم تغيير الحشوة الدافعة وطول ماسورة البندقية، وبهذا توصلنا إلى سرعة إطلاق تجاوزت (1000 m/s) في بعض الاختبارات.

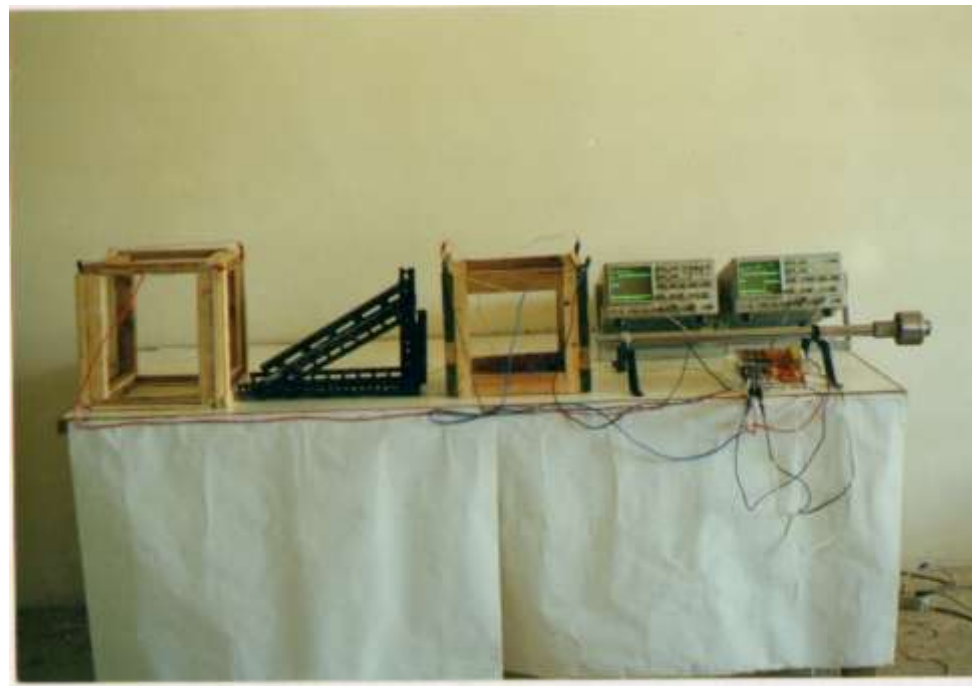
لمعرفة سرعة الفذيفية قبل وبعد الهدف توجد وحدتان لقياس السرعة تقوم بتحديد الزمن الذي تستغرقه الفذيفية لقطع مسافة معينة وبمعلومات المسافة يتم حساب السرعة. يتم تثبيت الهدف بصورة عمودية على اتجاه مسار الفذيفية بواسطة مساند خاصة لهذا الغرض، وبعد وحدة قياس السرعة الثانية الموجودة بعد الهدف بنيت آلية توقف للفذيفية لضمان توقف الفذيفية في مكان ملائم ويوضح الشكل(4-7) صورة فوتوغرافية لمنظومة الاختبار البالستية والتي تتالف من الأجزاء التالية:-

١ - جهاز اطلاق القذائف The Launching Gun

٢ - وحدة قياس السرعة Velocity Measuring Unite

٣ - ماسك الهدف Target Holder

توضح الاشكال(7-11) الاجزاء المستخدمة في البحث مع بعض صور الاهداف بعد اجراء التجارب عليها



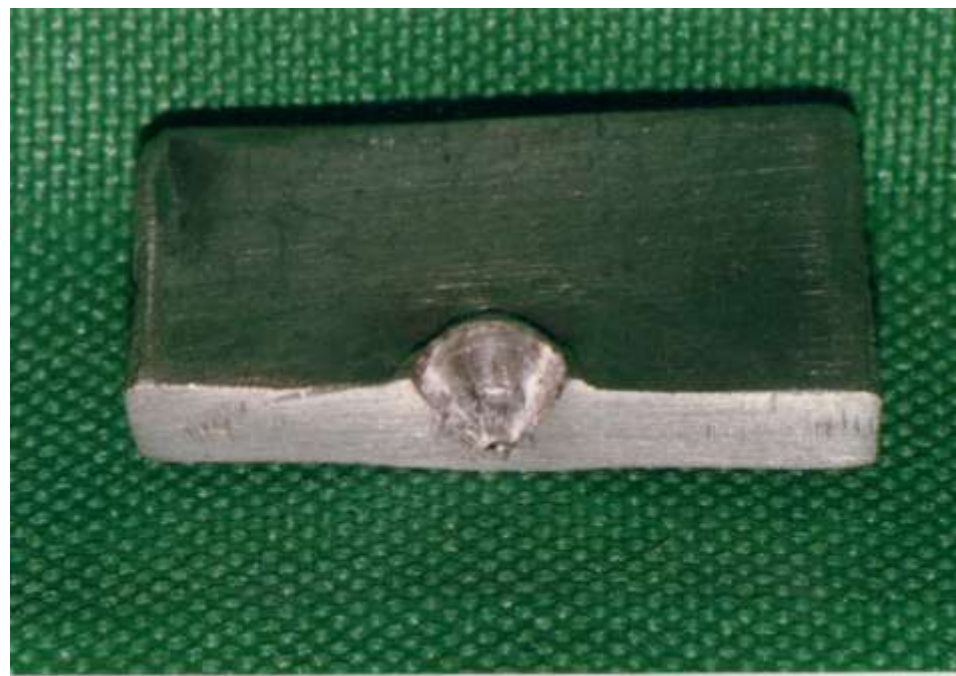
الشكل (7) يوضح منظومة الاختبار البالستية المستخدمة في البحث



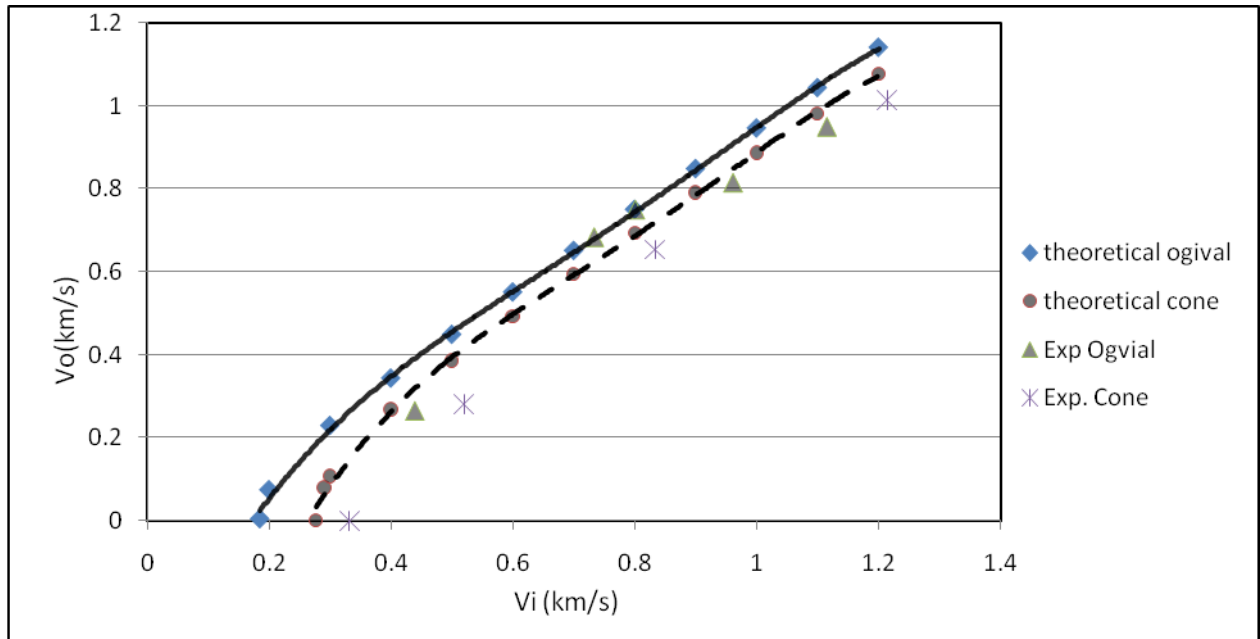
الشكل(8) يوضح القذائف المستخدمة في البحث مع جهاز وزن استخدم لوزن حشوة القذيفة للتحكم بسرعة القذيفة



الشكل (٩) يوضح صورة للبنديقة المستخدمة في الجانب العملي يبلغ طول ماسورة البنديقة ٧٥٢ ملم وهو الذي ساعد للوصول إلى سرعات عالية



الشكل (١٠) صورة لهدف مصنوع من الالمنيوم تم اختباره بقذيفة مخروطية الراس ويظهر تكون الفجوة بشكل مشابه لفرضية توسيع الفجوة الاسطوانية



الشكل (١١) مقارنة الاداء البالستي بين القذيفة المدببة الرأس والقذيفة المخروطية الراس مع النتائج العملية لكل حالة ويظهر بوضوح تفوق القذيفة المدببة على المخروطية اخذت هذه الحالة للهدف المصنوع من الالمنيوم (٣٠٠٣) .

الاستنتاجات

تشير النتائج النظرية الى ان القذائف المدببة الرأس ذات كفاء اكبر من القذائف المخروطية الراس في عملية الاختراق حيث يظهر بوضوح الى ان الاداء البالستي للهدف المصنوع من الالمنيوم (نقطة تقاطع المنحني النظري للراس المدبب مع المحور الافقى يقع عند السرعة ١٨ km/s على محور V_{in} (سرعة الصدمة)) وهذه النقطة تعنى ان الهدف قد تم اختراقه

اما الاداء البالستي للهدف في حالة الراس المخروطي (نقطة تقاطع المنحني النظري للراس المخروطي $theoretical\ cone$ مع المحور الافقى V_{in} فانه يقع عند السرعة ٠.٣ km/s) وهذا يعني ان القذيفة المدببة تحتاج الى سرعة اقل من نصيرتها المخروطية لاختراق نفس الهدف والبحث يبين ان الراس المدبب يقوم بتعجيل جزيئات المعدن بسرعة اقل بالاتجاه الشعاعي مما ينجم عنه اجهاد اقل كما بينا سابقا وبنالي نقل القوة المعرفة للقذائف

اكتت الاختبارات العملية نتائج النموذج النظري الذي اعتمدته البحث فالقذائف المدببة الرأس تملك سرعة بعد الاختراق اعلى من القذائف المخروطية وهذا يعني ان الهدف استنزف طاقة اكبر من القذائف المخروطية .

References:

- 1- Marvin, E., Backman and Werner Goldsmith, “*The Mechanics of Penetration of Projectile into Targets*” Int. J. Engineering Sci. Vol. 16, No. 1, PP1-99,1978
- 2- K. B. Hayashida and J. H. Robinson “*Single Wall Penetration Equations*” Nasa Technical Memorandum, Structures and Dynamics Laboratory Science and Engineering Directorate December 1991.
- 3- Taha, F. A. “*An Investigation into the Ballistic Impact Performance of Ductile Metallic target and Composite Materials Targets*” PhD thesis, Department of Mechanical Engineering, University of Technology Baghdad,2000.
- 4- M. J. Forrestal and K. Okajima, “*Penetration of 6061-T651 Aluminum Targets With Rigid Long Rods*” Journal of Applied Mechanics. December 1988, Vol. 55/755.
- 5- M. J. Forrestal and V. K. Luk, “*Dynamic Spherical Cavity-Expansion in a Compressible Elastic-Plastic Solid*” Journal of Applied Mechanics, June, 1988, Vol. 55/275.
- 6- V. K. Luk and et. at. “*Penetration into Semi-infinite Reinforced Concrete Target With Spherical and Ogival Nose Projectile*”, Int. J. Impact Engineering, Vol. 6, No. 4, PP. 291-301,1987
- 7- D. B. Longcope and M. J. Forrestal. “*Penetration of Targets Described By a Mohr-Coulomb Failure Criterion With a Tension Cutoff*” Journal of Applied Mechanics. June Vol 50, 1983.
- 8- W. Johnson and P.B. Mellor, “*Engineering Plasticity*” Van Nostrand Reinhold Company London, 1975.
- 9- Hill, R., and Bishop, R. F., 1941 “*The Theory of Indentation and Hardness Test*” The Proceeding of Physical Society , Vol. 57, Part 3, pp. 147-159.
- 10- Eric D. Wetzel and Keith M. Kirkwood, “*Effect of Friction on the Ballistic Performance of a High-Strength Fabric Structure*” WIT Transactions on Engineering Science 2005